

FIG. 1

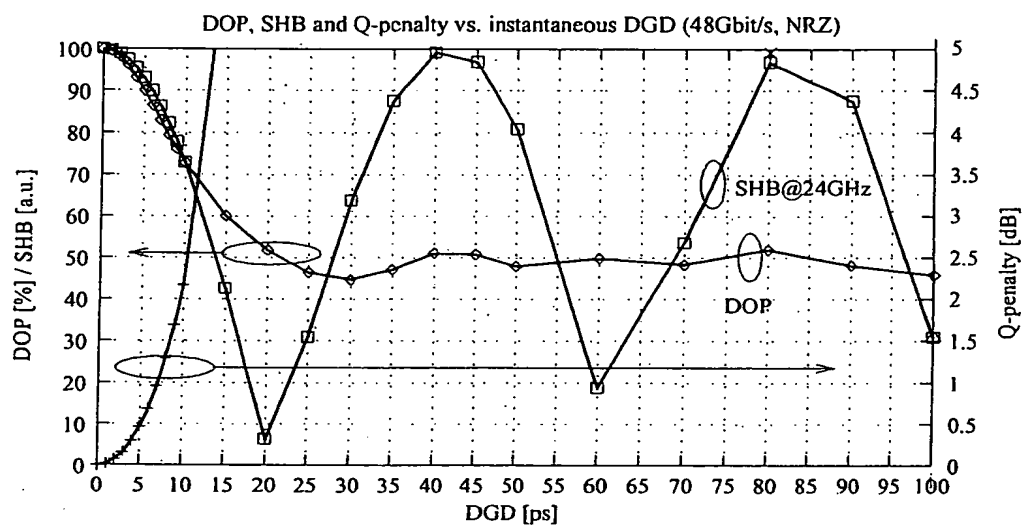


FIG. 2

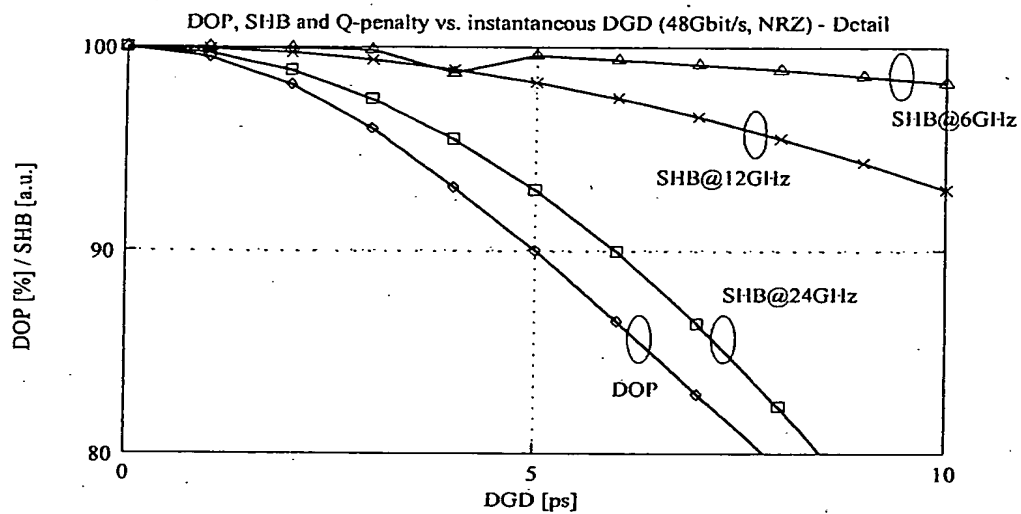


FIG. 3

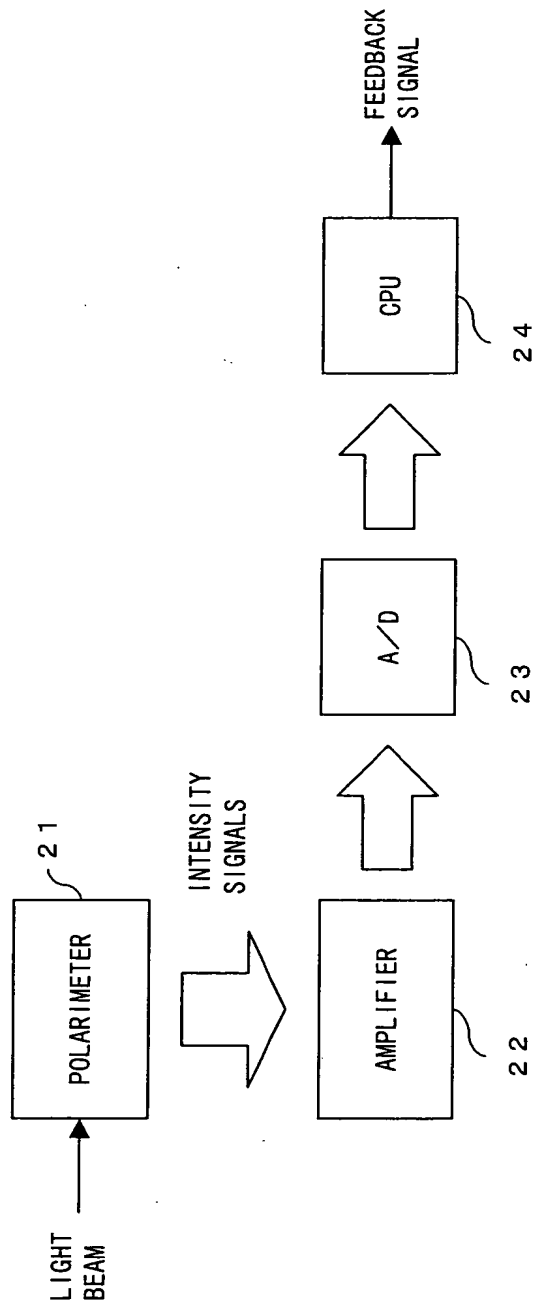


FIG. 4

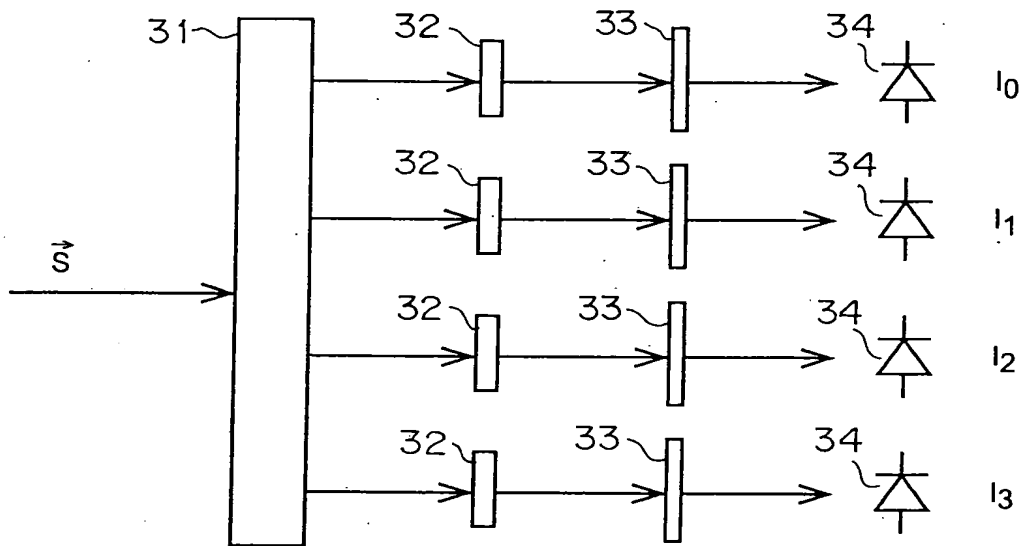


FIG. 5

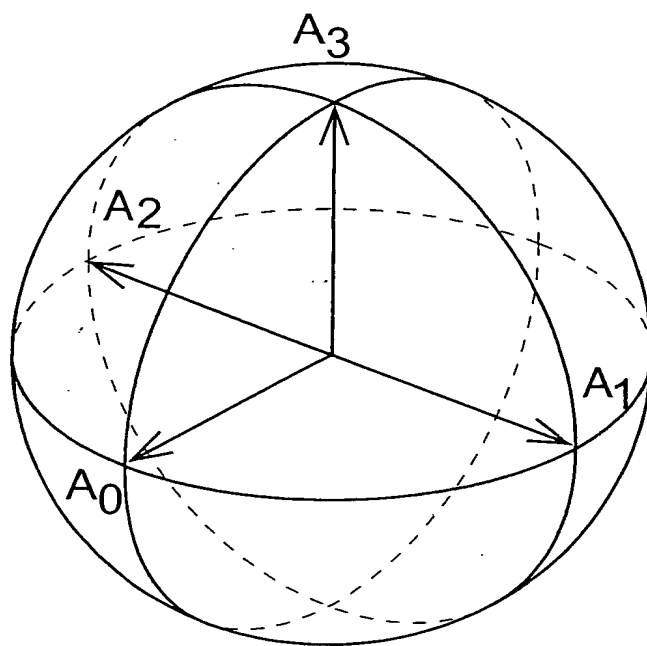


FIG. 6

No.	$\theta$	$\epsilon$
0	$0^\circ$	$0^\circ$
1	$+45^\circ$	$0^\circ$
2	$-45^\circ$	$0^\circ$
3	$0^\circ$	$45^\circ$

FIG. 7

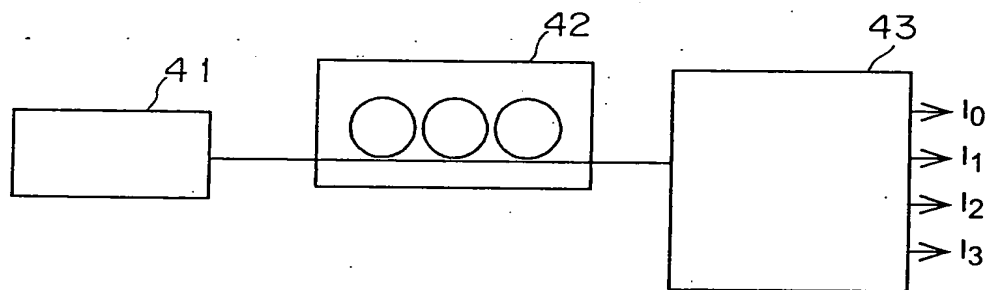


FIG. 8



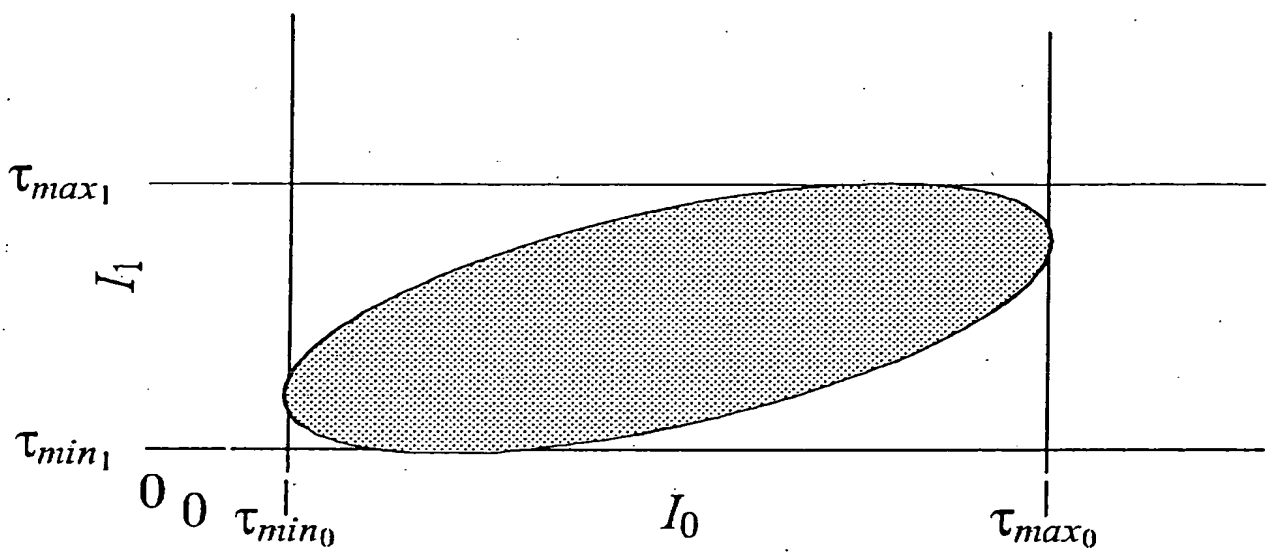


FIG. 9

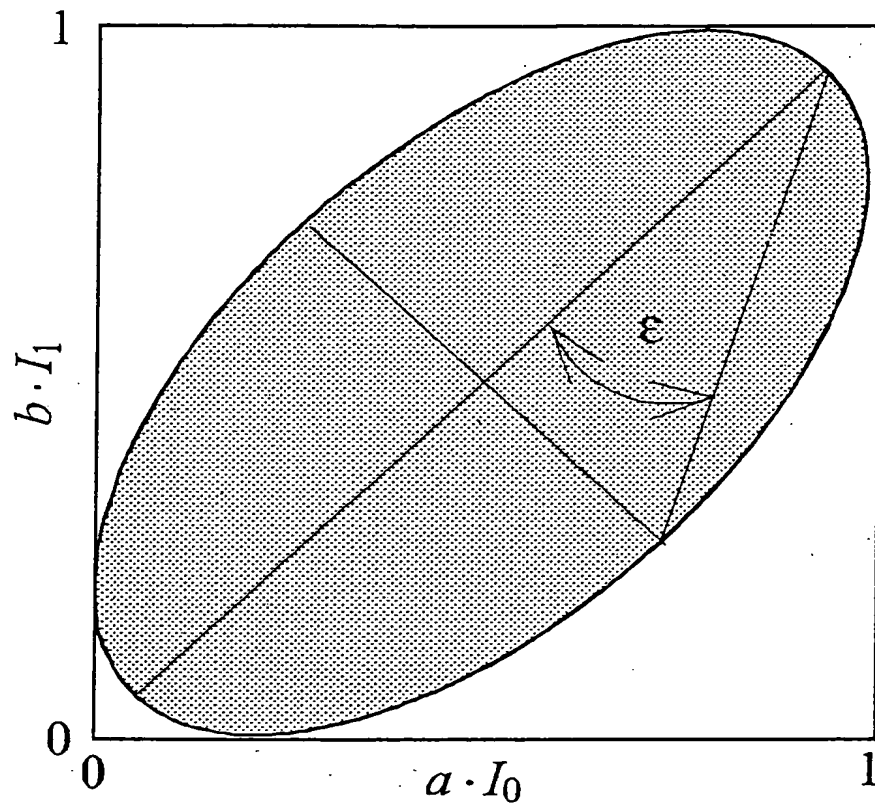


FIG. 10

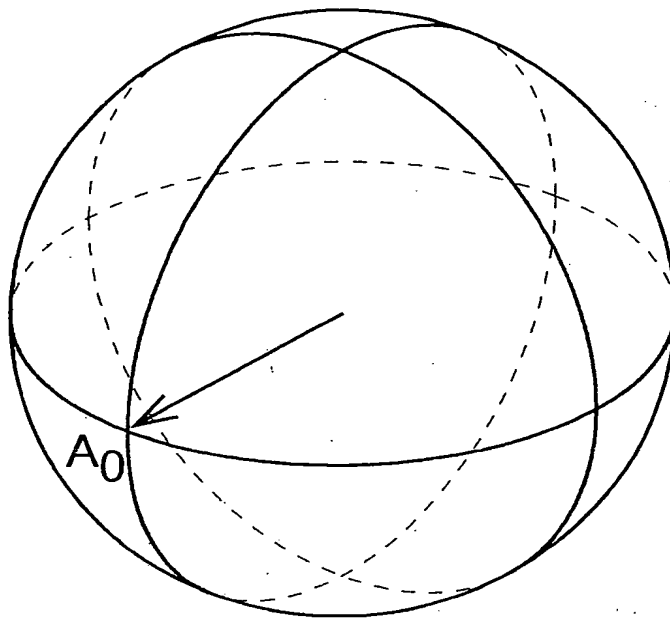


FIG. 11

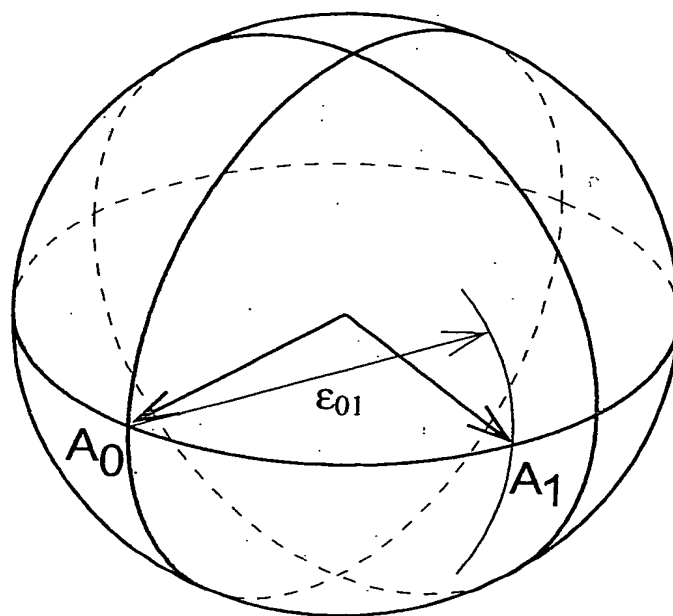


FIG. 12

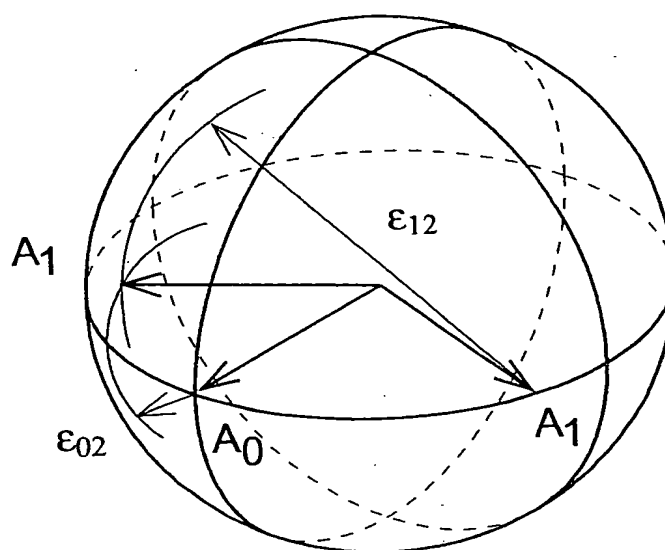


FIG. 13

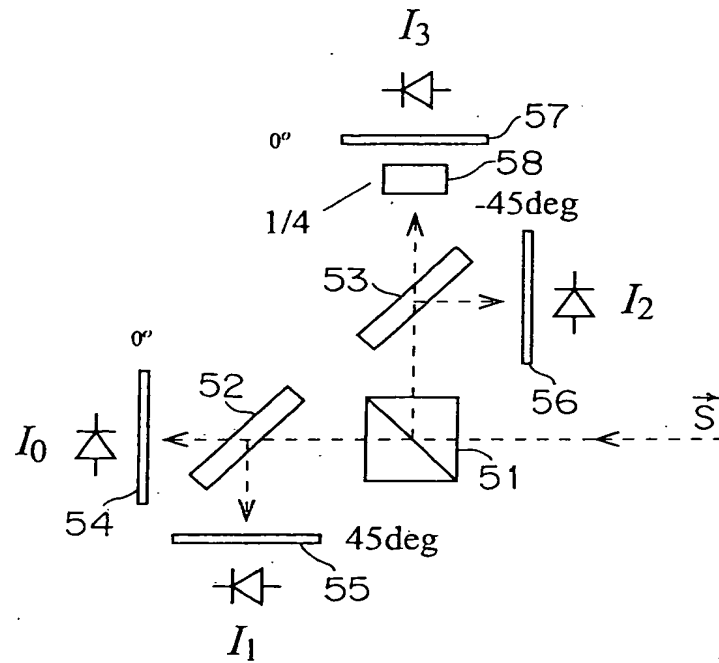


FIG. 14

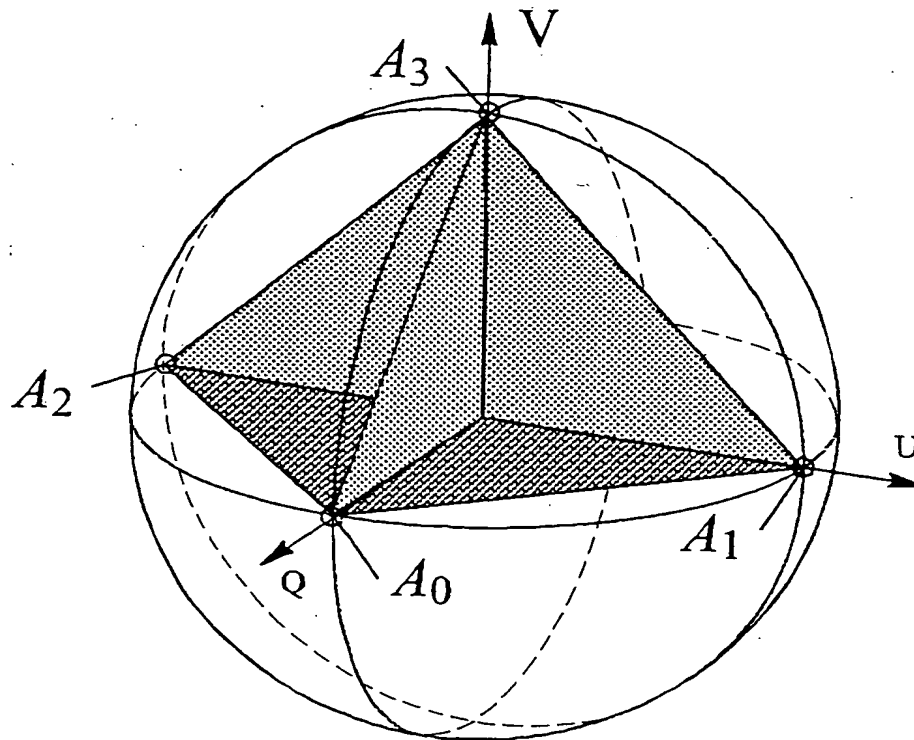


FIG. 15

[bit] \ [°]	2.0	1.0	0.5	0.1	0.0
8	21.88	12.09	7.04	3.07	2.28
10	20.93	11.07	5.87	1.61	0.61
12	20.71	10.78	5.56	1.23	0.15
14	20.65	10.72	5.48	1.13	0.03
16	20.64	10.71	5.47	1.12	0.01

FIG. 16



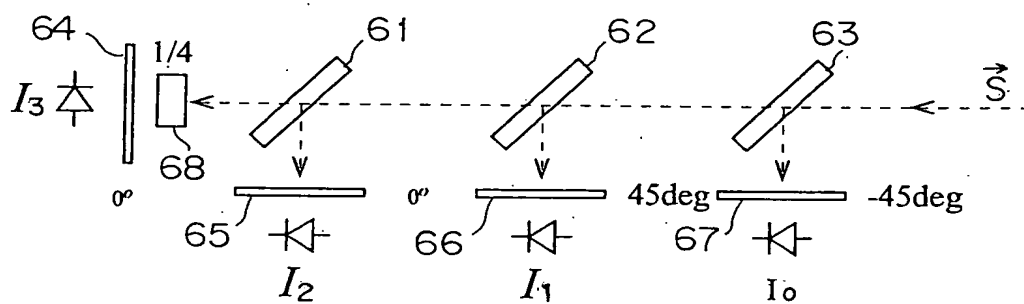


FIG. 17

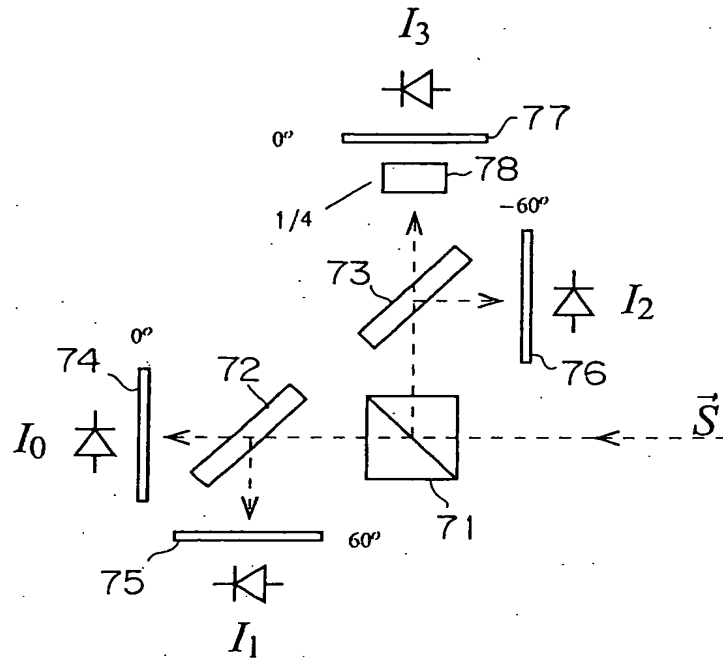


FIG. 18

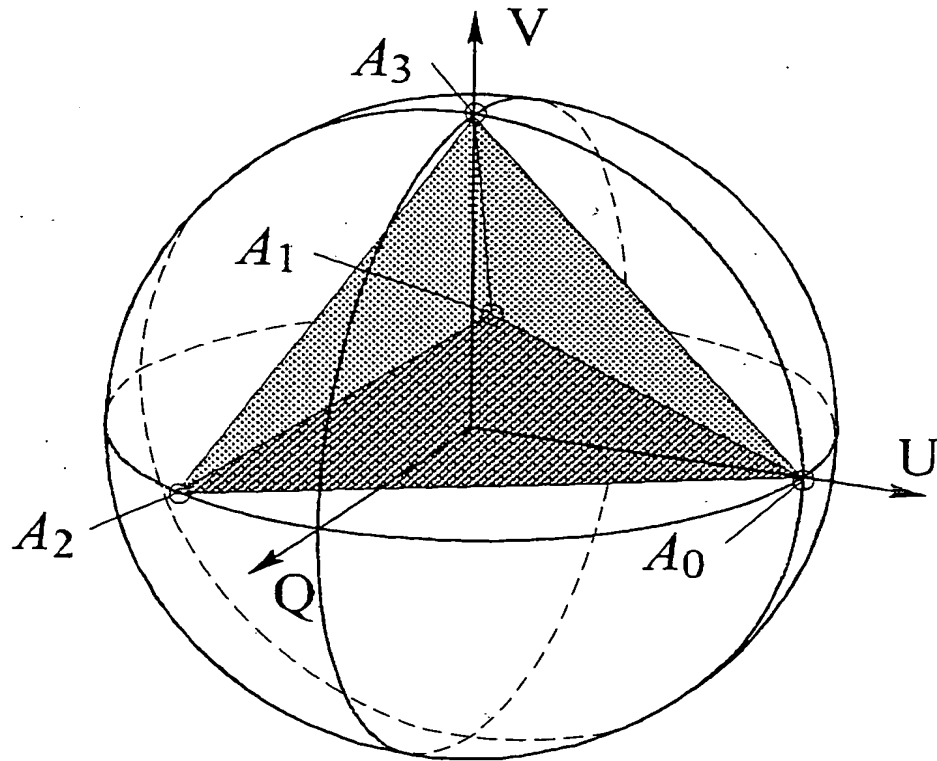


FIG. 19

[bit] \ [°]	2.0	1.0	0.5	0.1	0.0
8	18.77	9.95	5.64	2.28	1.59
10	17.87	9.0	4.65	1.21	0.42
12	17.67	8.79	4.43	0.95	0.12
14	17.64	8.76	4.38	0.89	0.03
16	17.63	8.75	4.37	0.88	0.008

FIG. 20

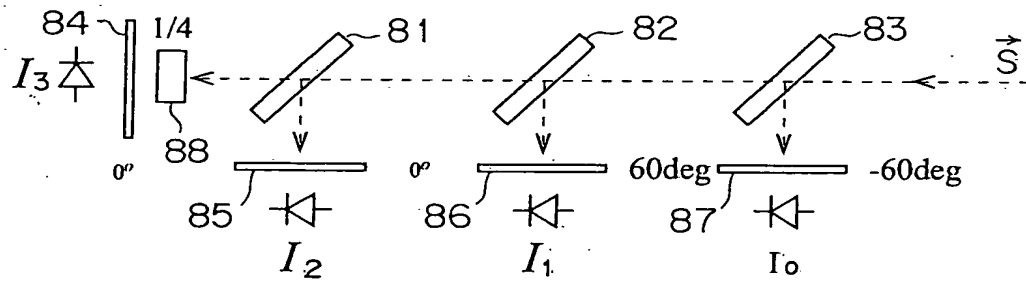


FIG. 21

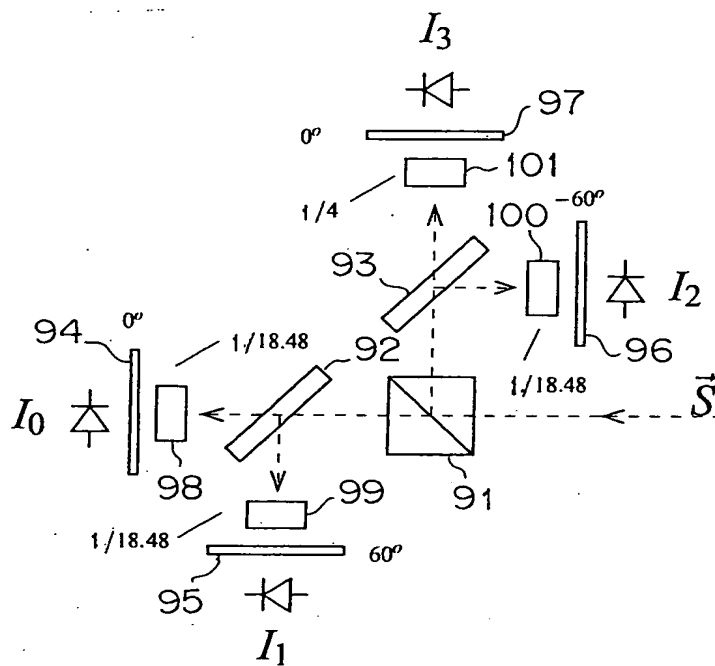


FIG. 22

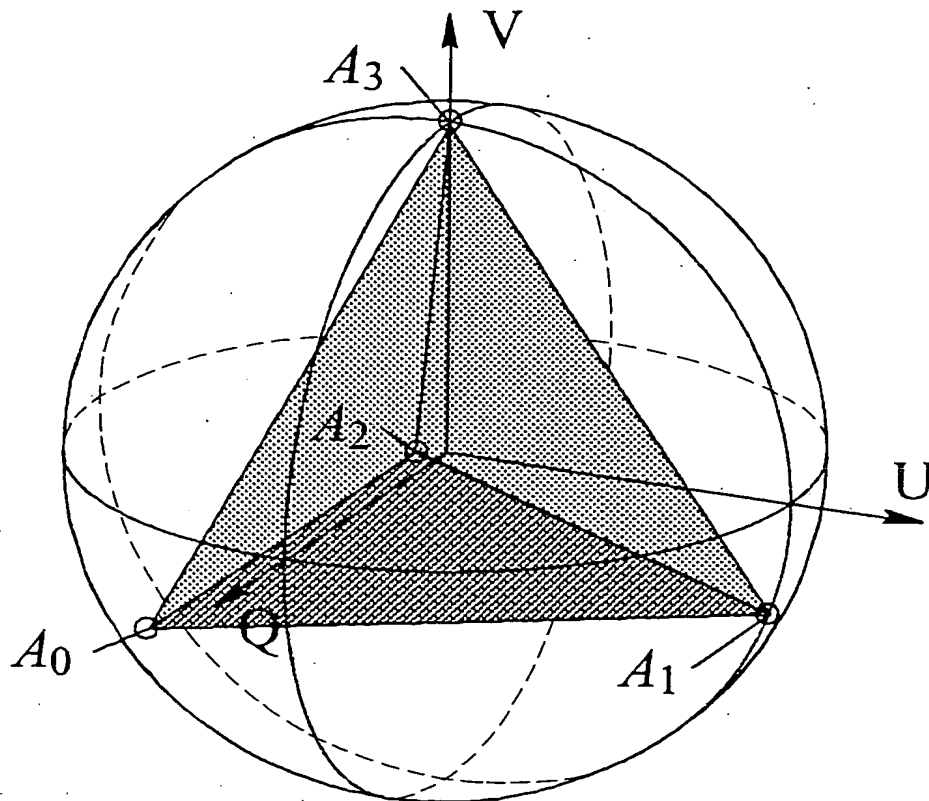


FIG. 23

[bit] \ [ $^{\circ}$ ]	2.0	1.0	0.5	0.1	0.0
8	15.82	8.44	4.82	1.95	1.38
10	15.13	7.65	3.96	1.01	0.35
12	14.95	7.45	3.75	0.8	0.09
14	14.91	7.41	3.7	0.75	0.02
16	14.9	7.4	3.69	0.74	0.005

FIG. 24



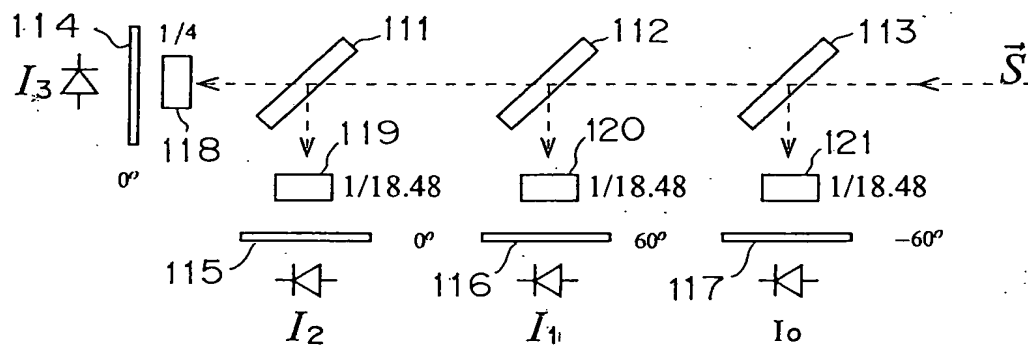


FIG. 25

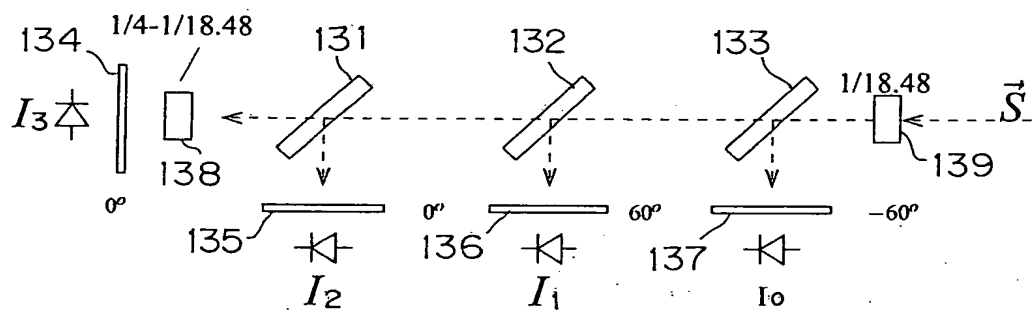


FIG. 26

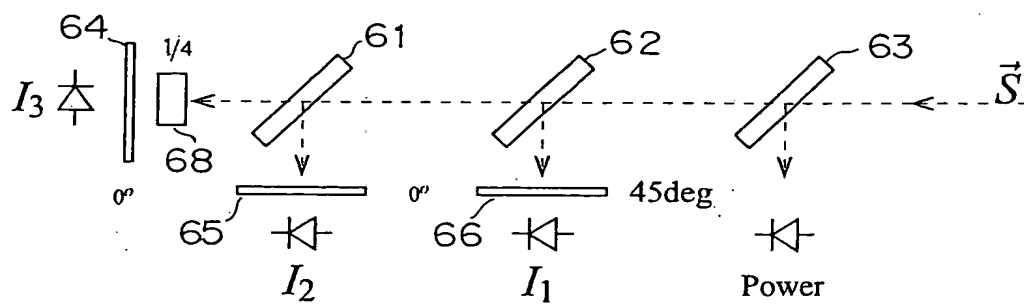


FIG. 27

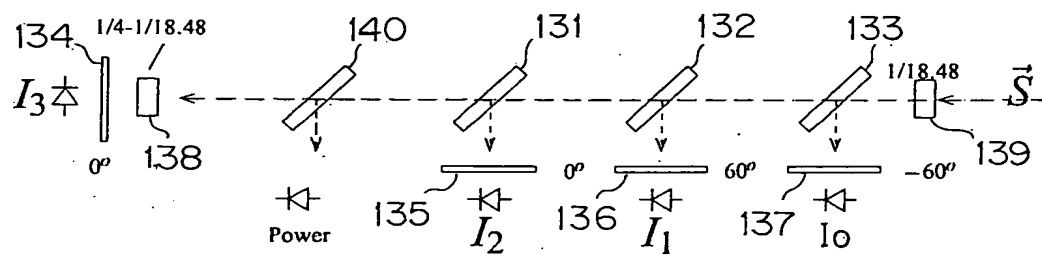


FIG. 28

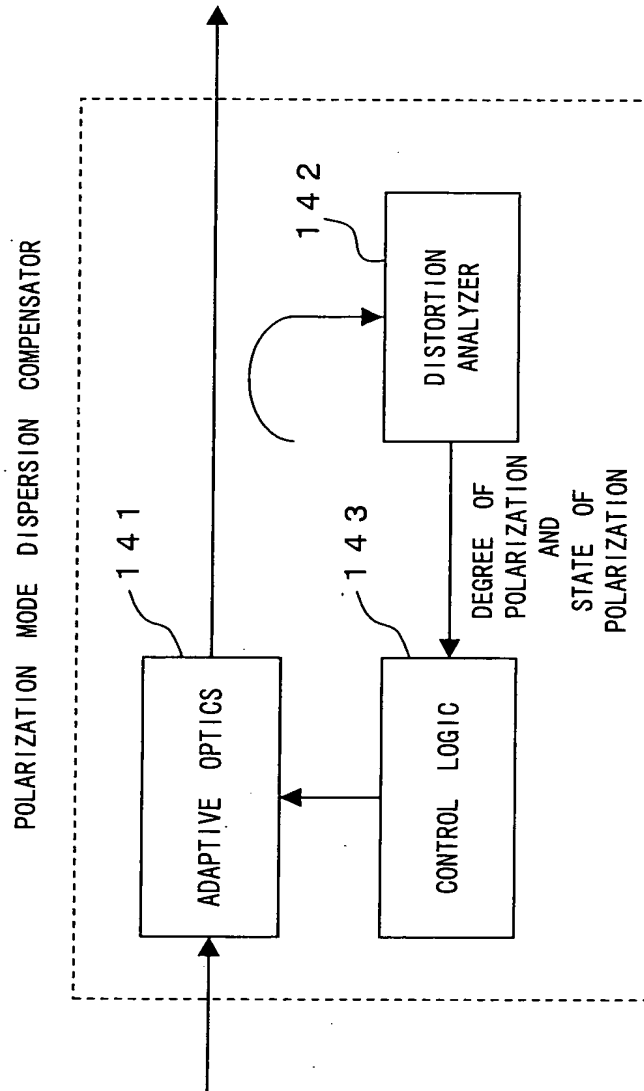


FIG. 29

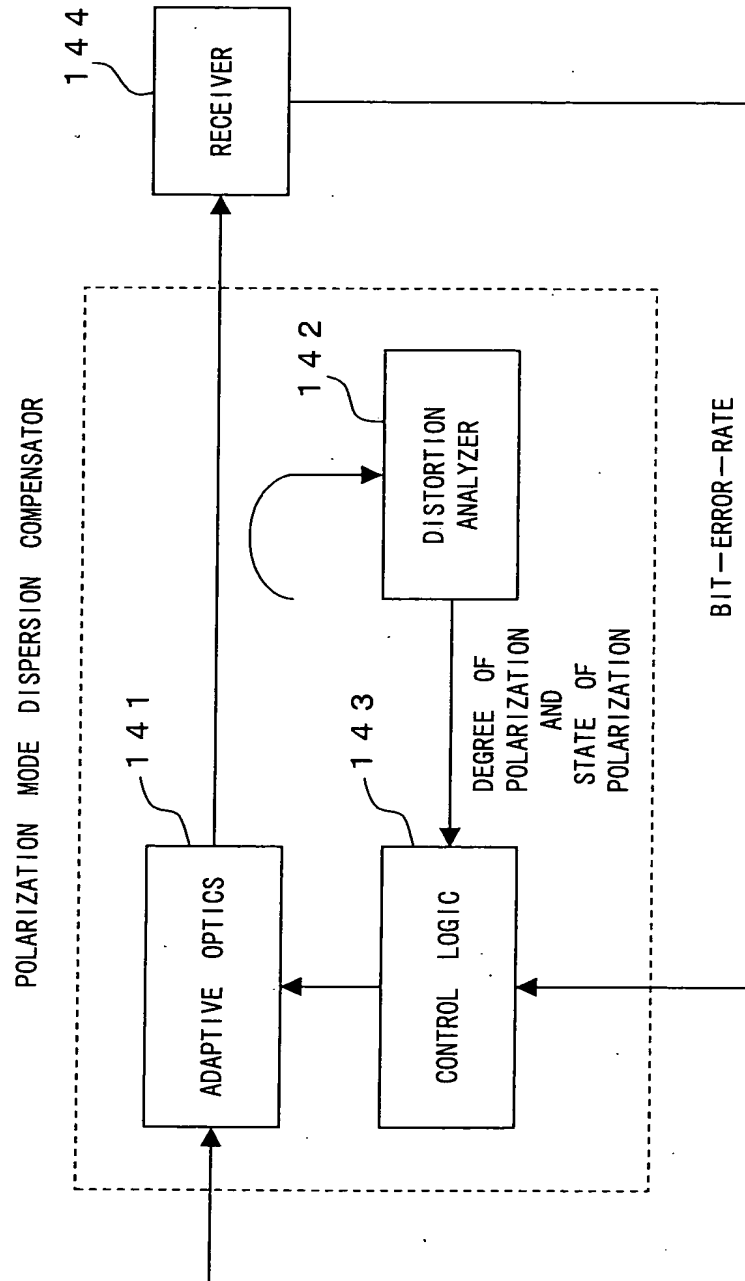


FIG. 30